

Введение

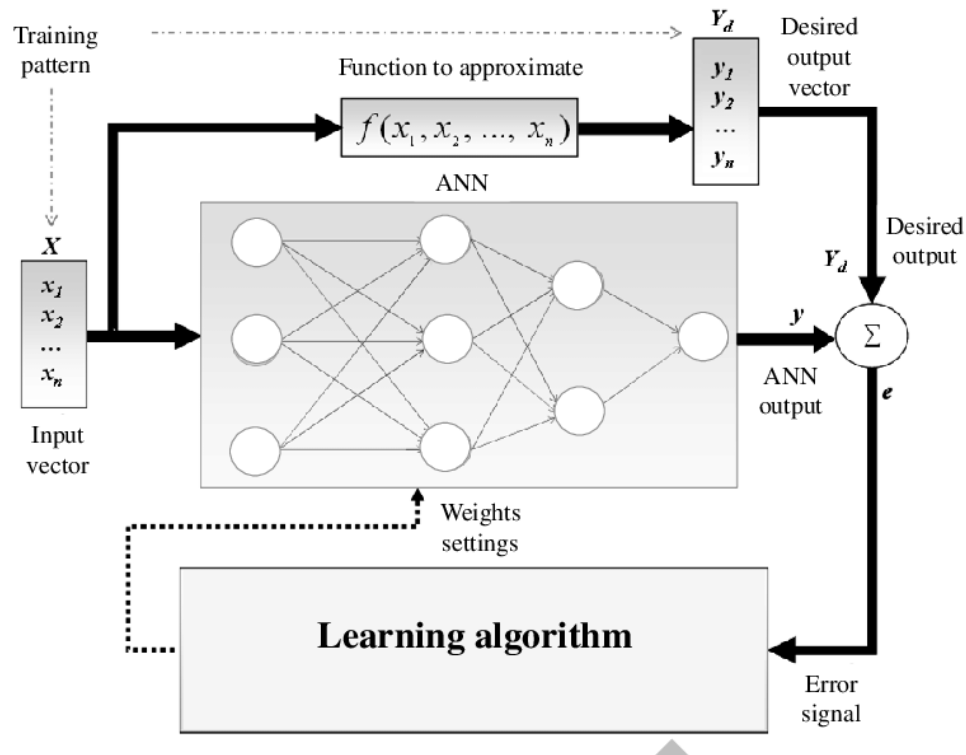
Цель работы:

Исследование применимости нейросетевого подхода к решению задач динамики деформируемого твёрдого тела.

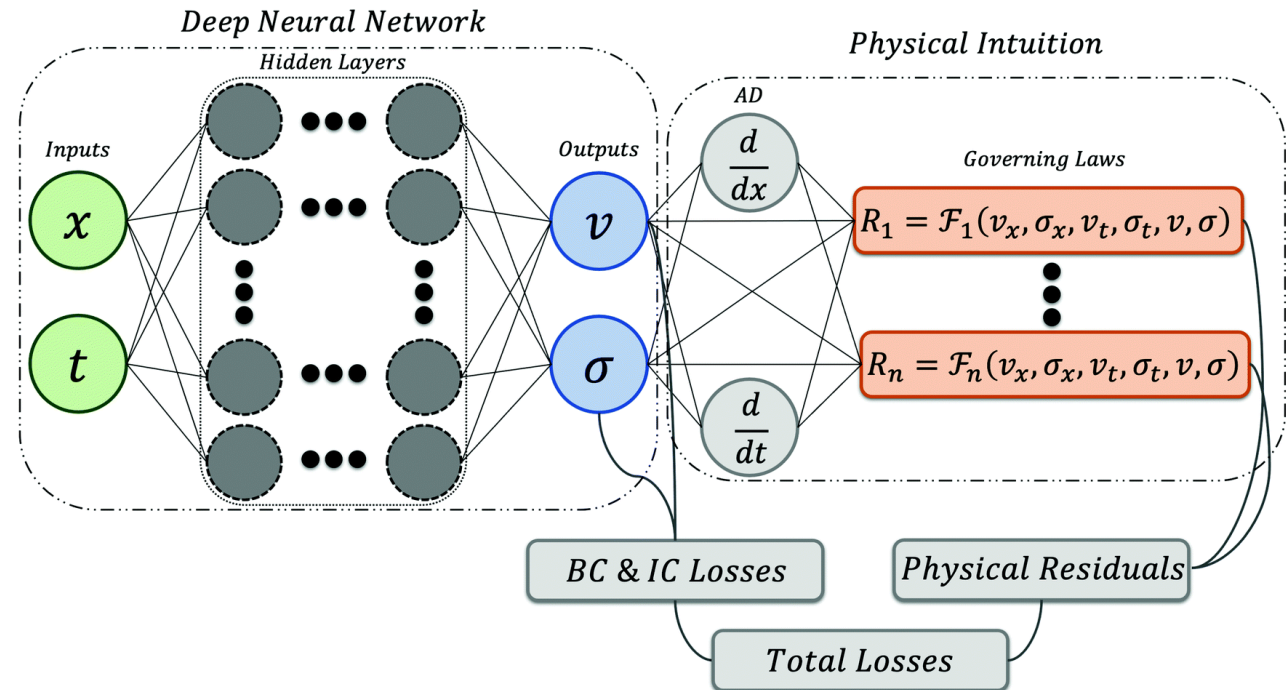
Основополагающая работа:

A deep learning framework for solving forward and inverse problems involving nonlinear partial differential equations, Raissi, 2019.

Обычная нейронная сеть



Физически-информированная нейронная сеть



Соотношения для механики деформируемого твёрдого тела

Общий случай

Уравнения равновесия с учётом инерционных сил $\nabla \cdot \boldsymbol{\sigma}(\mathbf{x}) + \rho \mathbf{b}(\mathbf{x}) = \rho \frac{\partial^2 \mathbf{u}(\mathbf{x})}{\partial t^2}, \mathbf{x} \in \Omega$

Закон Гука $\boldsymbol{\sigma}(\mathbf{x}) = \lambda \text{Tr}(\boldsymbol{\varepsilon}(\mathbf{x})) \mathbf{E} + 2\mu \boldsymbol{\varepsilon}(\mathbf{x}), \mathbf{x} \in \Omega$

Уравнения Коши $\boldsymbol{\varepsilon}(\mathbf{x}) = \frac{1}{2}(\nabla \mathbf{u}(\mathbf{x}) + \nabla \mathbf{u}^T(\mathbf{x})), \mathbf{x} \in \Omega$

Уравнения для плоской задачи

Уравнения равновесия с учётом инерционных сил $\frac{\partial \sigma_{xx}}{\partial x} + \frac{\partial \sigma_{xy}}{\partial y} = \rho \frac{\partial^2 u_x}{\partial t^2}, \frac{\partial \sigma_{xy}}{\partial x} + \frac{\partial \sigma_{yy}}{\partial y} = \rho \frac{\partial^2 u_y}{\partial t^2}$

Закон Гука с учётом кинематических соотношений $\sigma_{xx} = (\lambda + 2\mu) \frac{\partial u_x}{\partial x} + \lambda \frac{\partial u_y}{\partial y}, \sigma_{yy} = (\lambda + 2\mu) \frac{\partial u_y}{\partial y} + \lambda \frac{\partial u_x}{\partial x},$
 $\sigma_{xy} = \mu \left(\frac{\partial u_x}{\partial y} + \frac{\partial u_y}{\partial x} \right)$

Соотношения для пересчёта $\lambda = \frac{\nu E}{(1 + \nu)(1 - 2\nu)}, \mu = \frac{E}{2(1 + \nu)}$

Применение PINN к задачам динамики

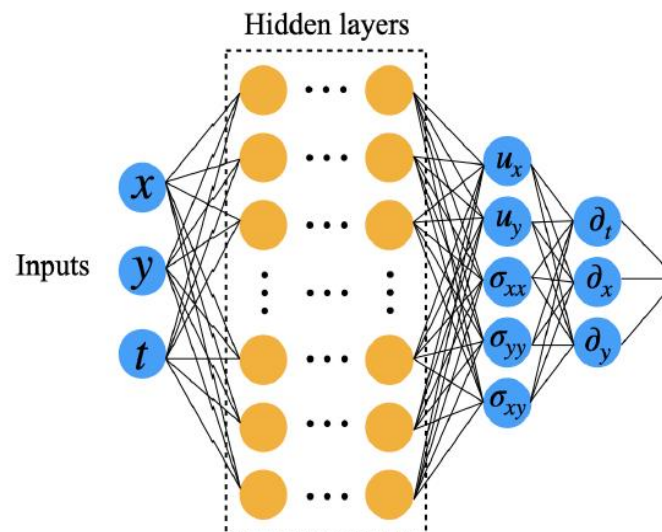
Общая форма управляющего уравнения $\partial_t \mathbf{u} = M\mathbf{u} + N(\mathbf{u})$

Функция потерь для управляющего уравнения $\mathcal{L}_{eqn} = \frac{1}{N_{eqn}} \sum_1^{N_{eqn}} |\partial_t \mathbf{u}(\mathbf{x}_n^e, t_n^e) - M\mathbf{u}(\mathbf{x}_n^e, t_n^e) - N(\mathbf{u}(\mathbf{x}_n^e, t_n^e))|^2$

Невязка по данным $\mathcal{L}_{data} = \frac{1}{N_{data}} \sum_1^{N_{data}} |\mathbf{u}^e(\mathbf{x}_n^d, t_n^d) - \mathbf{u}(\mathbf{x}_n^d, t_n^d)|^2$

Полная функция потерь $\mathcal{L}_{total} = \lambda_1 \mathcal{L}_{data} + \lambda_2 \mathcal{L}_{eqn}$

Архитектура нейронной сети для решения плоской задачи



Total loss: $\mathcal{L}_{total} = \mathcal{L}_{data} + \mathcal{L}_{eqn}$

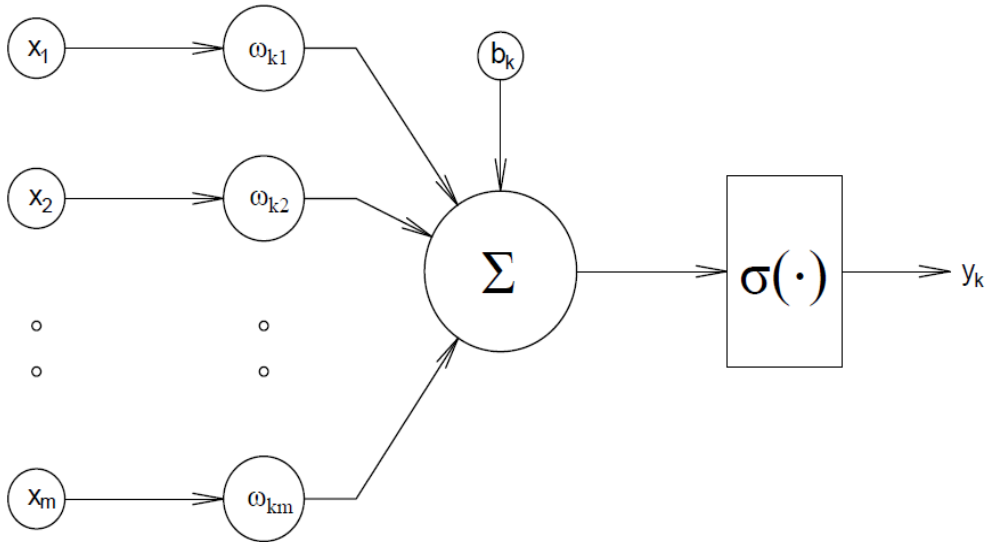
Equation loss: \mathcal{L}_{eqn}

$$\begin{aligned} \frac{\partial \sigma_{xx}}{\partial x} + \frac{\partial \sigma_{xy}}{\partial y} &= \rho \frac{\partial^2 u_x}{\partial t^2} \\ \frac{\partial \sigma_{yy}}{\partial y} + \frac{\partial \sigma_{xy}}{\partial x} &= \rho \frac{\partial^2 u_y}{\partial t^2} \\ \sigma_{xx} &= (\lambda + 2\mu) \frac{\partial u_x}{\partial x} + \lambda \frac{\partial u_y}{\partial y} \\ \sigma_{yy} &= (\lambda + 2\mu) \frac{\partial u_y}{\partial y} + \lambda \frac{\partial u_x}{\partial x} \\ \sigma_{xy} &= \mu \left(\frac{\partial u_x}{\partial y} + \frac{\partial u_y}{\partial x} \right) \end{aligned}$$

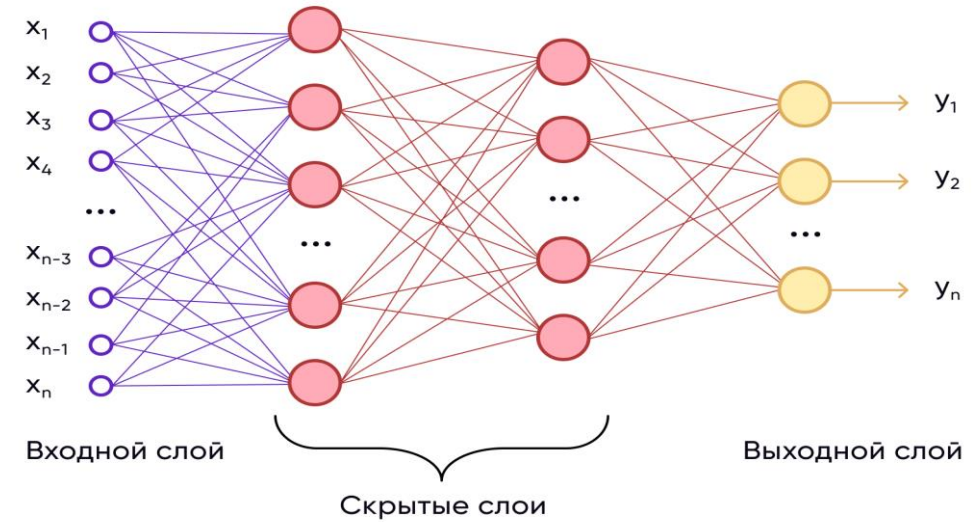
Data loss: \mathcal{L}_{data}

Нейронная сеть с прямой связью

Архитектура нейрона



Архитектура нейронной сети



Преобразования на l – том слое нейросети

$$\mathbf{z}^l = \sigma^l(\mathbf{W}^l \cdot \mathbf{z}^{l-1} + \mathbf{b}^l)$$

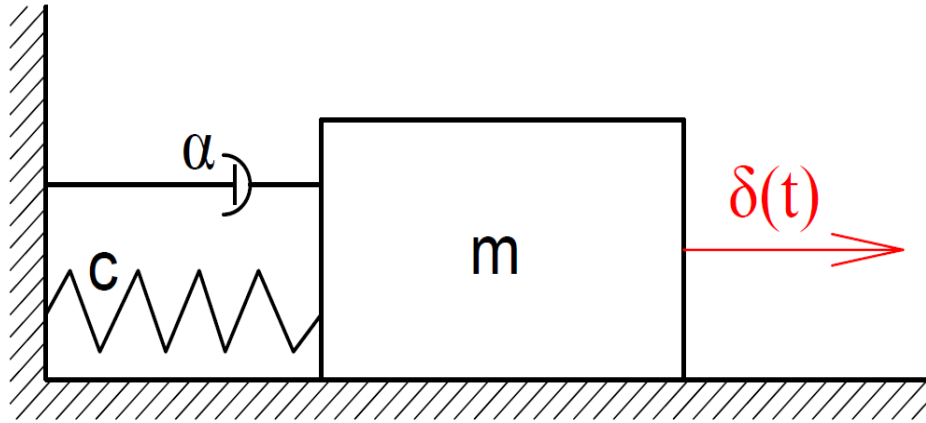
Пример работы двухслойной нейронной сети

$$\mathbf{z}^1 = \tanh(\mathbf{W}^1 \cdot \mathbf{x} + \mathbf{b}^1),$$

$$\mathbf{y} = \mathbf{W}^2 \cdot \mathbf{z}^1 + \mathbf{b}^2$$

Моделирование переходного процесса

Одномассовая система



Параметры задачи

Масса	$m = 0,1 \text{ кг}$
Жесткость	$c = 0,158 \frac{\text{Н}}{\text{м}}$
Коэффициент демпфирования	$\alpha = 0,02 \frac{\text{Н} \cdot \text{с}}{\text{м}}$
Частота колебаний	$p \approx 0,2 \text{ Гц}$

Аналитическое решение $x(t) = \frac{1}{mp_1} e^{-nt} \sin(p_1 t)$

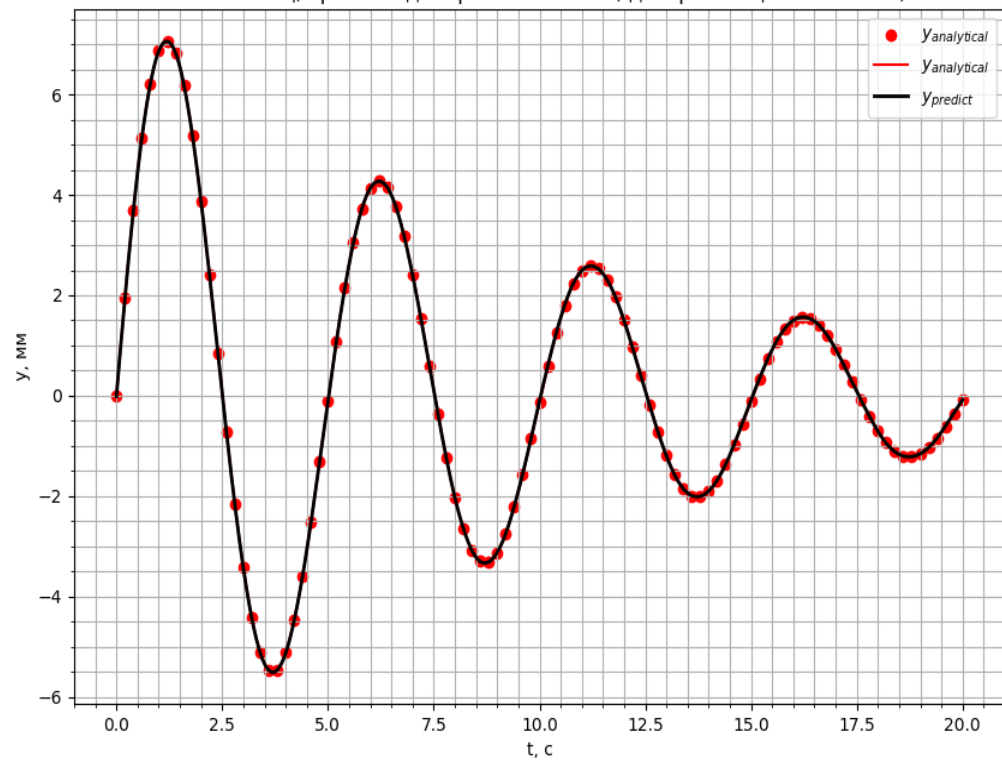
Функция потерь для данных $\mathcal{L}_{data} = \frac{1}{N_{data}} \sum_1^{N_{data}} |x - x^d|^2$

Управляющее уравнение $\ddot{x} + 2n\dot{x} + p^2 x = 0$

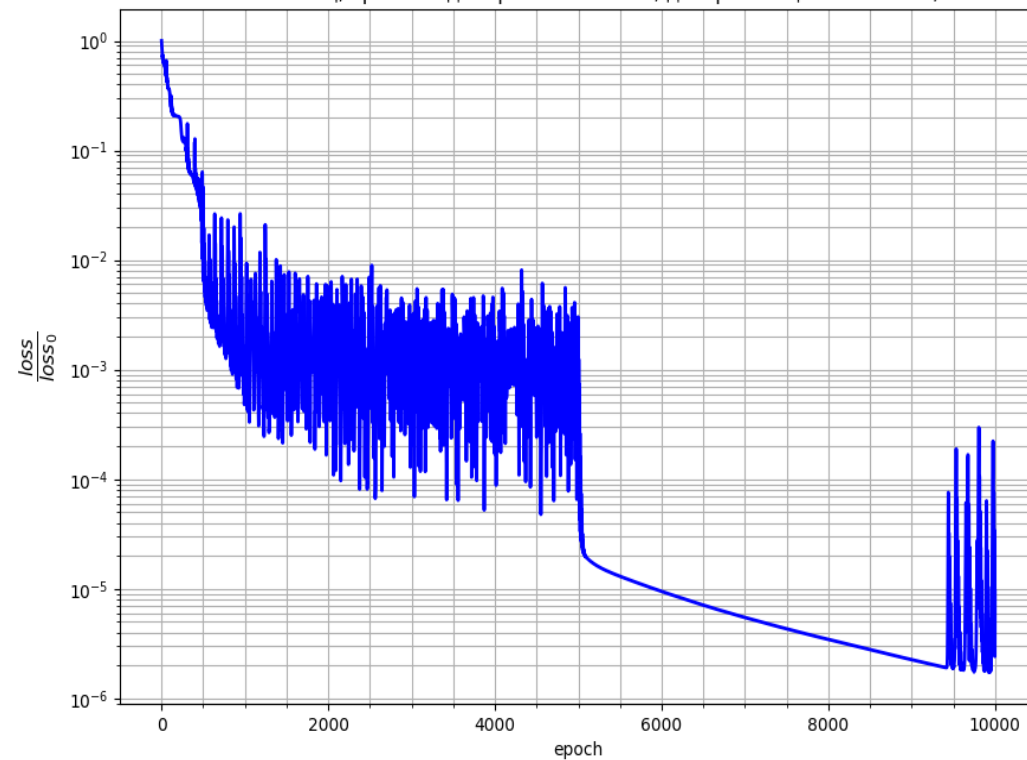
Функция потерь для уравнения равновесия $\mathcal{L}_{eqn} = \frac{1}{N_{eqn}} \sum_1^{N_{eqn}} |\ddot{x} + 2n\dot{x} + p^2 x|^2$

Результаты

Аналитическое и предсказанное решение с параметрами:
частота = 0.20 Гц, время моделирования = 20 с, дискретизация = 0.100 с, $n = 0.1$

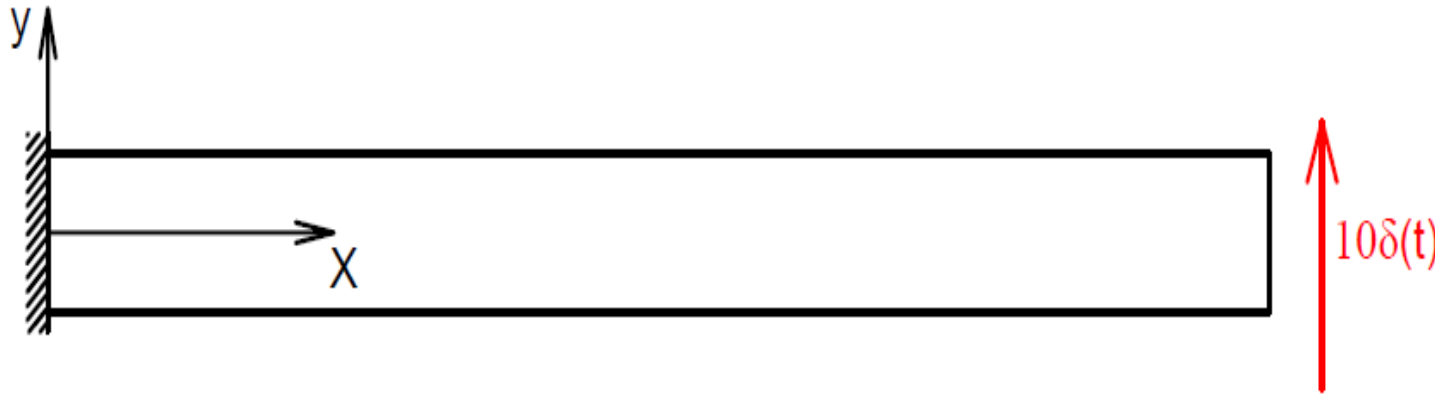


Значения лосс-функции. Параметры:
частота = 0.20 Гц, время моделирования = 20 с, дискретизация = 0.100 с, $n = 0.1$



Плоская задача о колебаниях стержня

Консольная балка с импульсной нагрузкой на свободном конце



Параметры задачи

Длина стержня – 200 мм

Ширина стержня – 10 мм

Толщина стержня – 1 мм

Плотность $\rho = 7,85 \cdot 10^{-6} \frac{\text{кг}}{\text{мм}^3}$

Модуль Юнга $E = 2 \cdot 10^5 \text{ МПа}$

Коэффициент Пуассона $\mu = 0,3$

Модифицированный вид полной функции потерь

$$\mathcal{L}_{total} = 10^7 \frac{\mathcal{L}_{data}}{\mathcal{L}_{data}_0} + \mathcal{L}_{eqn}^{norm}$$

Первые пять изгибных собственных частот: 203,56 Гц, 1261,1 Гц, 3469,1 Гц, 6633,2 Гц, 10644 Гц

Функции потерь в плоской задаче

Обезразмеривание исходных данных

$$x^* = \frac{x}{x_c}, y^* = \frac{y}{y_c}, u_x^* = \frac{u_x}{u_{x_c}}, u_y^* = \frac{u_y}{u_{y_c}}, \sigma_{xx}^* = \frac{\sigma_{xx}}{\sigma_{xx_c}}, \sigma_{yy}^* = \frac{\sigma_{yy}}{\sigma_{yy_c}}, \sigma_{xy}^* = \frac{\sigma_{xy}}{\sigma_{xy_c}}, t^* = \frac{t}{t_c}, \lambda^* = \frac{\lambda}{\lambda_c}, \mu^* = \frac{\mu}{\mu_c}, \rho^* = \frac{\rho}{\rho_c}$$

Функция потерь для данных

$$\mathcal{L}_{data} = \|u_x^* - u_x^{*d}\|_{data} + \|u_y^* - u_y^{*d}\|_{data} + \|\sigma_{xx}^* - \sigma_{xx}^{*d}\|_{data} + \|\sigma_{yy}^* - \sigma_{yy}^{*d}\|_{data} + \|\sigma_{xy}^* - \sigma_{xy}^{*d}\|_{data}$$

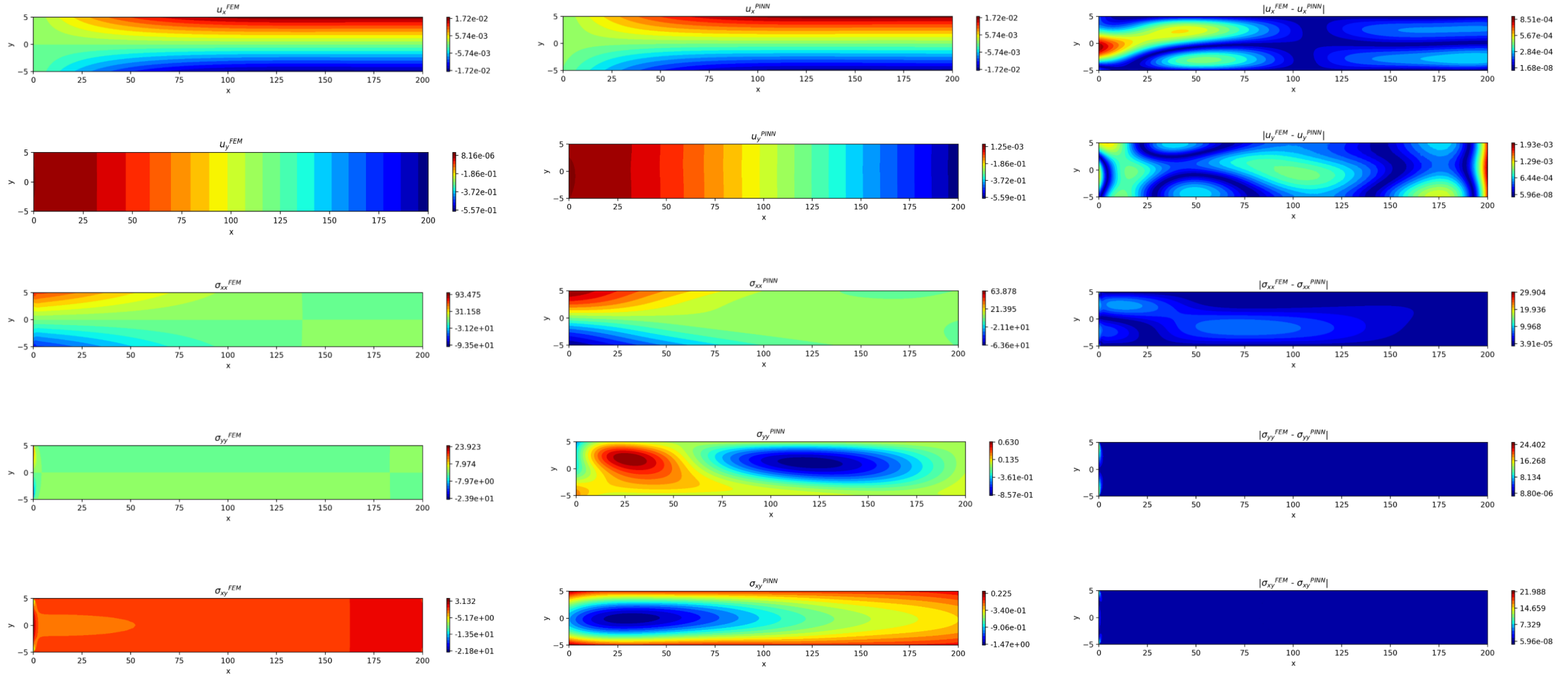
Функция потерь для уравнений равновесия $\mathcal{L}_{eqn} = \mathcal{L}_x + \mathcal{L}_y + \mathcal{L}_{xx} + \mathcal{L}_{yy} + \mathcal{L}_{xy}$

$$\mathcal{L}_x = \left\| \frac{\partial \sigma_{xx}^*}{\partial x^*} + \frac{\sigma_{xy_c}}{\sigma_{xx_c}} \frac{\partial \sigma_{xy}^*}{\partial y^*} - \frac{u_{x_c} \rho_c l_c}{\sigma_{xx_c} t_c^2} \rho^* \frac{\partial^2 u_x^*}{\partial t^{*2}} \right\|_{eqn} \quad \mathcal{L}_y = \left\| \frac{\sigma_{xy_c}}{\sigma_{xx_c}} \frac{\partial \sigma_{xy}^*}{\partial x^*} + \frac{\sigma_{yy_c}}{\sigma_{xx_c}} \frac{\partial \sigma_{yy}^*}{\partial y^*} - \frac{u_{y_c} \rho_c l_c}{\sigma_{xx_c} t_c^2} \rho^* \frac{\partial^2 u_y^*}{\partial t^{*2}} \right\|_{eqn}$$

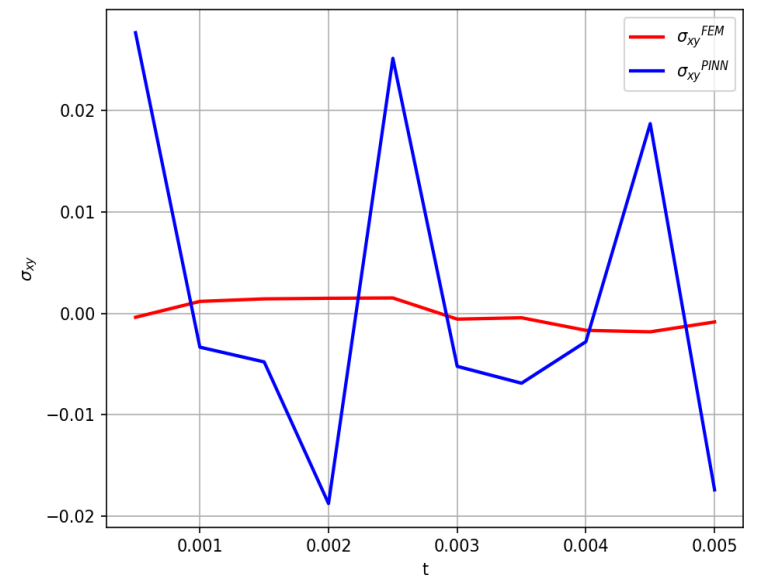
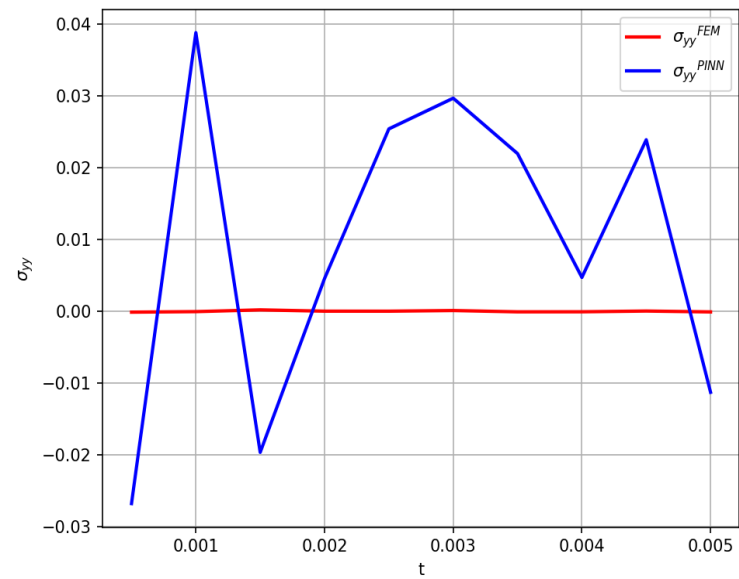
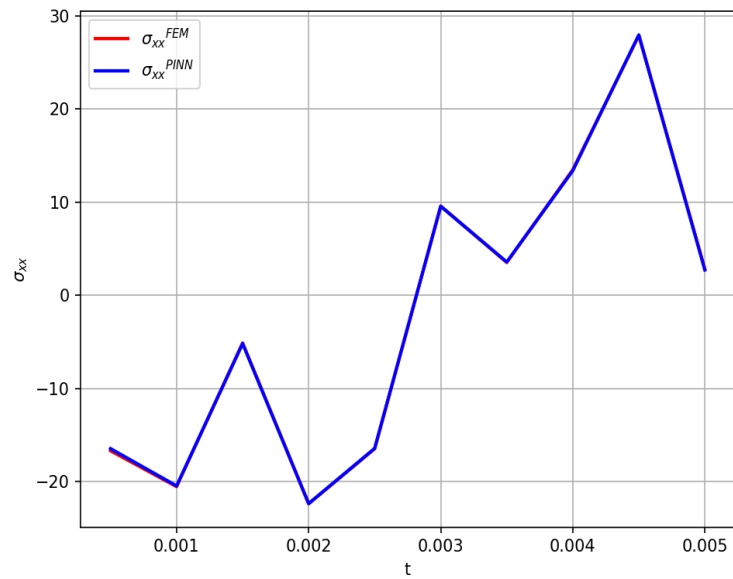
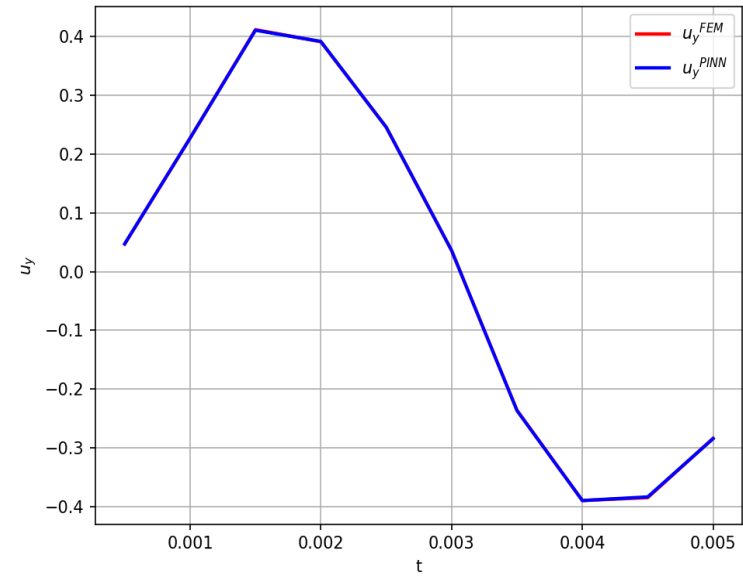
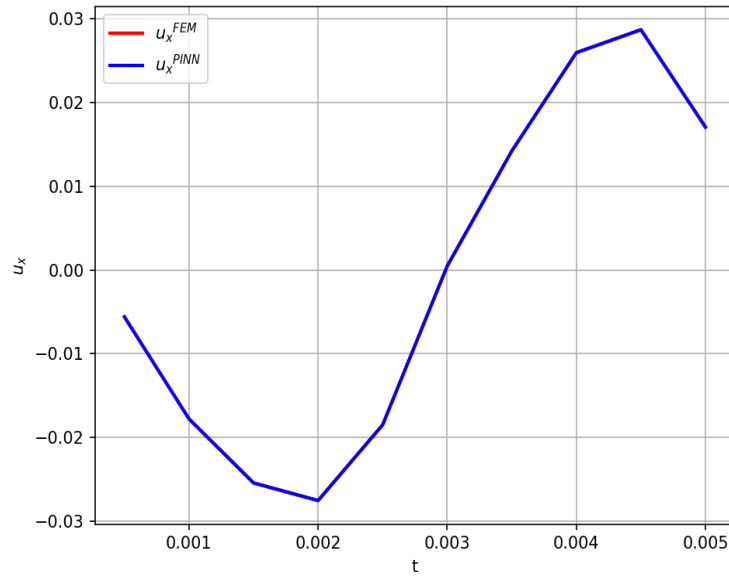
$$\mathcal{L}_{xx} = \left\| \frac{\sigma_{xx_c} l_c}{u_{y_c} \lambda_c} \sigma_{xx}^* - \frac{u_{x_c}}{u_{y_c}} (\lambda^* + 2\mu^*) \frac{\partial u_x^*}{\partial x^*} - \lambda^* \frac{\partial u_y^*}{\partial y^*} \right\|_{eqn} \quad \mathcal{L}_{yy} = \left\| \frac{\sigma_{yy_c} l_c}{u_{y_c} \lambda_c} \sigma_{yy}^* - \frac{u_{x_c}}{u_{y_c}} \lambda^* \frac{\partial u_x^*}{\partial x^*} - (\lambda^* + 2\mu^*) \frac{\partial u_y^*}{\partial y^*} \right\|_{eqn}$$

$$\mathcal{L}_{xy} = \left\| \frac{\sigma_{xy_c} l_c}{u_{y_c} \lambda_c} \sigma_{xy}^* - \mu^* \left(\frac{\partial u_y^*}{\partial x^*} + \frac{u_{x_c}}{u_{y_c}} \frac{\partial u_x^*}{\partial y^*} \right) \right\|_{eqn}$$

Результаты в момент времени 0,005 секунды

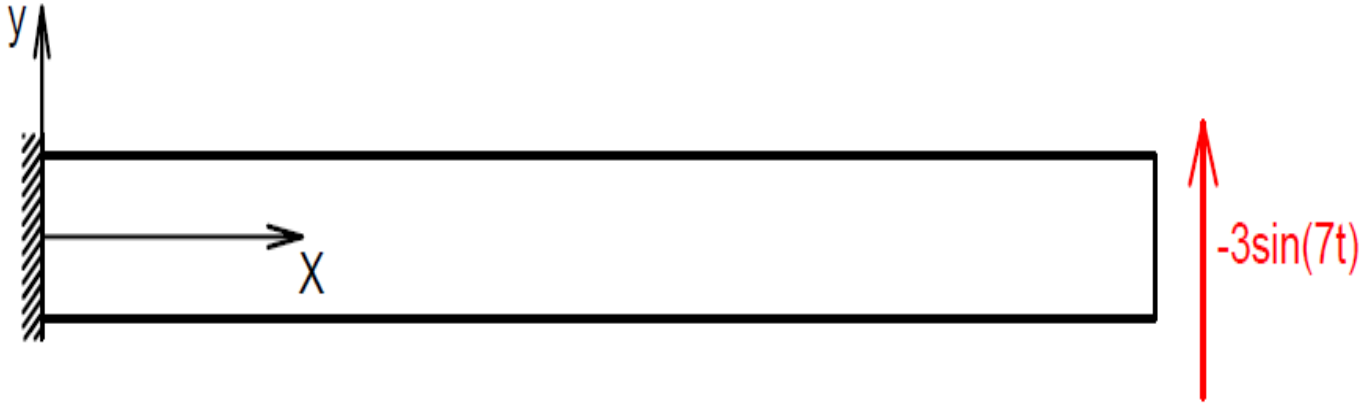


Результаты в точке (120 мм, 5 мм)



Плоская задача о колебаниях стержня №2

Консольная балка с синусоидальной нагрузкой на свободном конце



Параметры задачи

Длина стержня – 200 мм

Ширина стержня – 10 мм

Толщина стержня – 1 мм

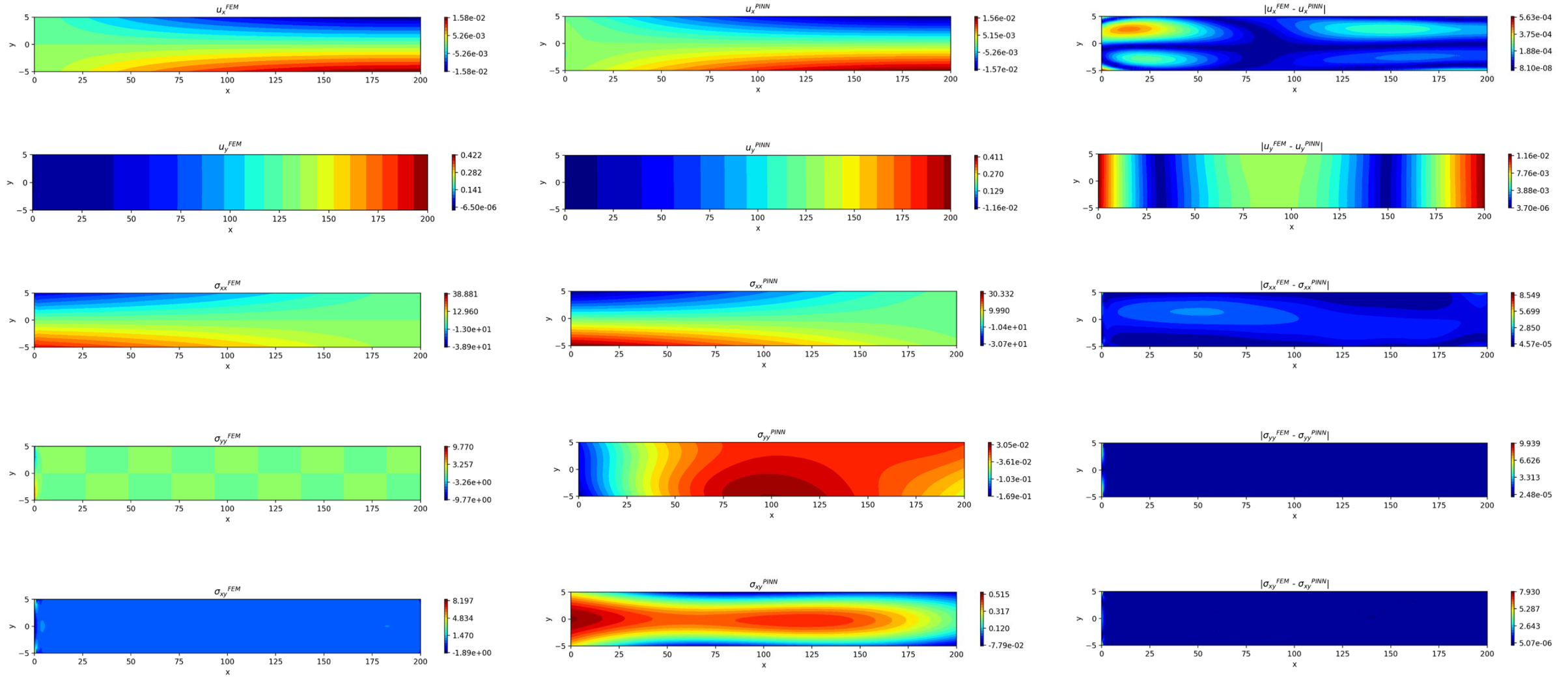
Плотность $\rho = 7,85 \cdot 10^{-6} \frac{\text{кг}}{\text{мм}^3}$

Модуль Юнга $E = 2 \cdot 10^5 \text{ МПа}$

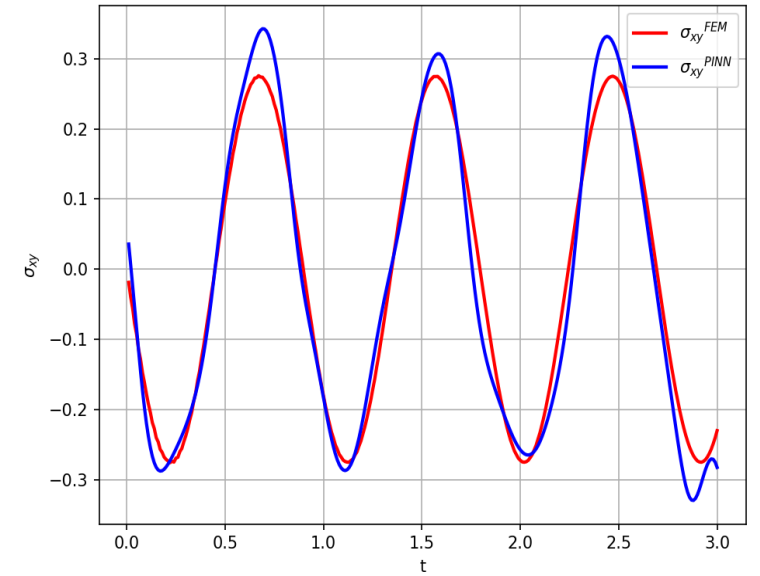
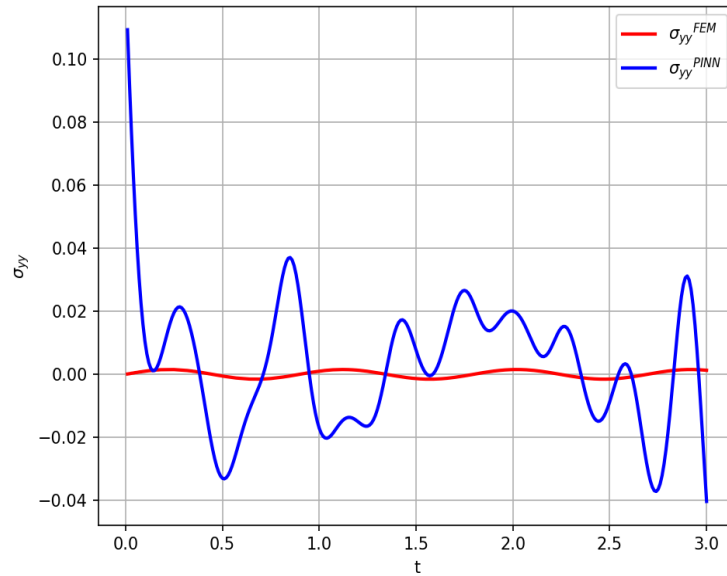
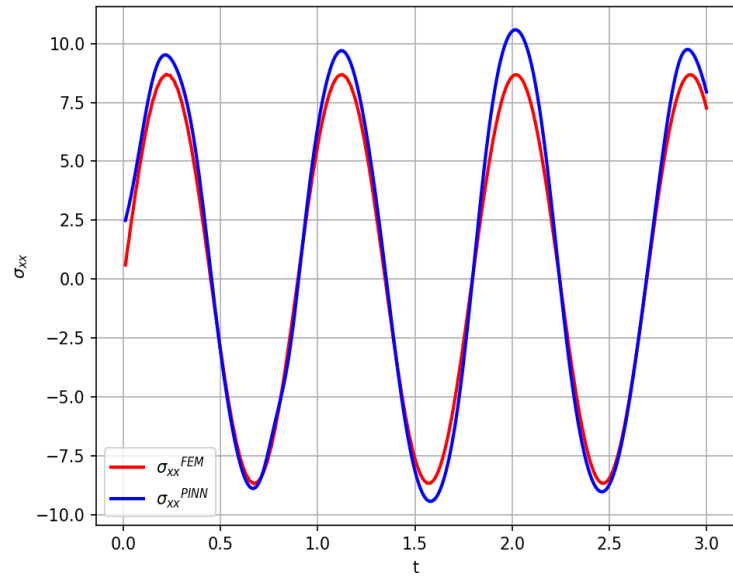
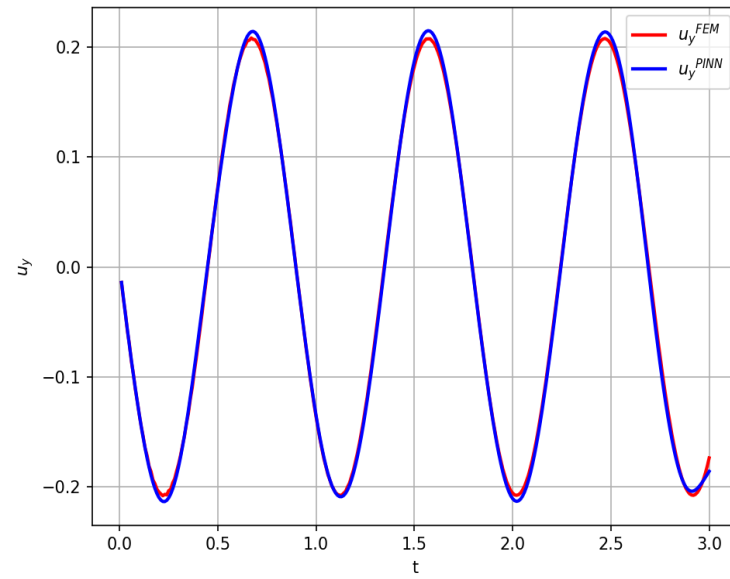
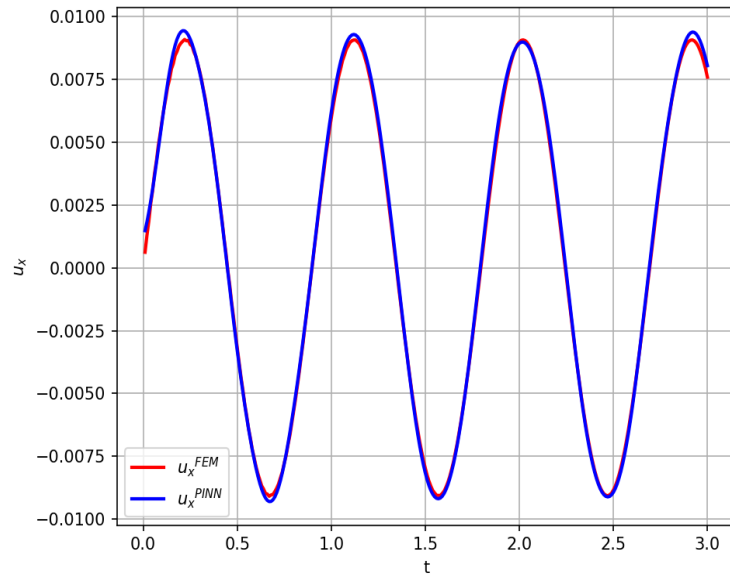
Коэффициент Пуассона $\mu = 0,3$

Первые пять изгибных собственных частот: 203,56 Гц, 1261,1 Гц, 3469,1 Гц, 6633,2 Гц, 10644 Гц

Результаты в момент времени 1,5 секунды



Результаты в точке (120 мм, 3 мм)



Заключение

1. Проведен анализ литературных источников, посвященных физически информированным нейронным сетям и их применению к различного рода задачам механики, в частности, к задачам динамики.
2. Разработан алгоритм обучения нейронной сети для различных задач динамики, позволяющий обучать нейронную сеть на данных, предварительно полученных аналитически или с помощью метода конечных элементов.
3. Продемонстрирован новый подход и его применимость к задачам механики, который отличается от классических и бурно развивается в настоящее время.
4. Направления дальнейших исследований:
 - Распространение данного подхода на решение задач динамики трехмерных тел;
 - Реализация нейросетевого алгоритма восстановления поля напряжений конструкции по информации с датчиков (уменьшение количества обучающих данных);
 - Улучшение качества аппроксимации напряжений с помощью использования современных модификаций нейронных сетей.